

Список литературы

- [1] Молекулярно-лучевая эпитаксия и гетероструктуры / Под ред. Л. Ченга и К. Плога. М.: Мир, 1989. 575 с.

Институт ядерных
исследований АН УССР,
Киев

Поступило в Редакцию
19 января 1991 г.

Письма в ЖТФ, том 17, вып. 7

12 апреля 1991 г.

05.4

© 1991

СВЕРХПРОВОДЯЩИЕ СЛОИ $YBa_2Cu_3O_{7-\delta}$ СИНТЕЗИРОВАННЫЕ В УСЛОВИЯХ ПЛАСТИЧЕСКОГО ТЕЧЕНИЯ ВЕЩЕСТВА

Н.А. Каланда, В.Н. Шамбалаев,
В.В. Паньков, Л.Н. Бухтеева

Получение ВТСП материалов в условиях пластического течения вещества [1-3] имеет ряд существенных преимуществ по сравнению с обычным керамическим методом: текстурированность образцов, большие ($>10^4$ А/см²) плотности тока, высокая плотность и т.д. В этой связи использование метода диффузионных пар, разработанного для исследования фазовых диаграмм сложных систем, позволяет провести реакцию программируемого синтеза.

В предыдущих сообщениях [1-2] приведены результаты исследования образования ВТСП соединений в диффузионных системах $Y_2Cu_2O_5$ - $BaCuO_2$, Y_2BaCuO_5 - $x \cdot BaO \cdot (1-x) CuO$ ($0.38 < x < 0.50$), $Y_{1-x}Ba_xO$ - CuO ($0.35 < x < 0.67$), Y_2O_3 - $BaCuO_2$, BaO - (Y, Cu) O .

В настоящей работе представлены данные по образованию ВТСП соединений в диффузионной паре сечения $Y_{1.2}Ba_{1.8}Cu_2O_{7-\delta}$ - $BaCuO_2$ фазовой диаграммы.

Образцы для исследования готовили по обычной термической технологии синтезом смеси соответствующих компонент CuO , Y_2O_3 , $BaCO_3$ в интервале температур 850-1000 °C. Фазовый состав продуктов обжига определяли с помощью рентгенографического (ДРОН-3 $CuK\alpha$ - излучение) анализа. Обжиг пар, составленных из полированных пластин $BaCuO_2$ и $Y_{1.2}Ba_{1.8}Cu_2O_{7-\delta}$ производили на воздухе при температурах 880-920 °C в течение 10-18 часов. Контакт между реагентами во время обжига поддерживался с усилием 0.1 кг/см². Охлаждение продукта реакции происходило со скоростью 50 град/час.

$BaCuO_2$

$Y_3Ba_8Cu_5O_{18-\delta} + YBa_4Cu_3O_{8.5+\delta}$

$YBa_2Cu_3O_{7-\delta}$

$Y_{1.2}Ba_{1.8}Cu_2O_{7-\delta}$

α

I

II

III

IV

V

мм

-8

-7

-5

-3

0

δ

$BaCuO_2$

$Y_3Ba_8Cu_5O_{18-\delta} + YBa_4Cu_3O_{8.5+\delta}$

$Y_3Ba_8Cu_5O_{18-\delta} + YBa_2Cu_3O_{7-\delta}$

$YBa_2Cu_3O_{7-\delta}$

$Y_{1.2}Ba_{1.8}Cu_2O_{7-\delta}$

мм

-8

-7

-5

-3

0

Рис. 1. Расположение слоев в реакционной зоне диффузионной системы $Y_{1.2}Ba_{1.8}Cu_2O_{7-\delta}$ - $BaCuO_2$, отожженной при $T=880-900$ °C (а) и при $T=900-920$ °C (б).

На сmodeлированном нами разрезе фазовой диаграммы $YO_{1.5}$ - BaO - CuO температура эвтектики $T \approx 900$ °C для двойной системы $BaCuO_2$ - CuO . Реакция синтеза вследствие этого происходила в результате пластического течения эвтектического состава $BaCuO_2$ по открытym порам внутрь $Y_{1.2}Ba_{1.8}Cu_2O_{7-\delta}$ с последующей кристаллизацией новых фаз. Учитывая литературные данные по фазам $Y_3Ba_8Cu_5O_{17.5+\delta}$ и $YBa_4Cu_3O_{8.5+\delta}$ [4], микроструктурным и рентгенофазовым анализом продукта реакции установлено, что при температурах 880-900 °C в системе образуется последовательность фаз, как на рис. 1, а. С увеличением температуры реакции до 920 °C дополнительно образуется двухфазный слой, рис. 1, б. Плотность ВТСП фаз в обоих случаях составляет 6.2 г/см³. Измерение электрических параметров образцов проводилось после послойного сошлифования их торцевых поверхностей до исследуемого нами слоя с использованием 4-х зондовой петли по стандартной методике. Полученные значения температурных зависимостей сопротивления образованных ВТСП слоев представлены на рис. 2. Достаточная ширина сверхпроводящего слоя $YBa_2Cu_3O_{7-\delta}$, полученного при $T=915$ °C, позволила определить в нем транспортные параметры кислорода. Исследование проводилось с использованием твердого электролита из оксида иттрия, стабилизированного цирконием (YSZ) [5]:

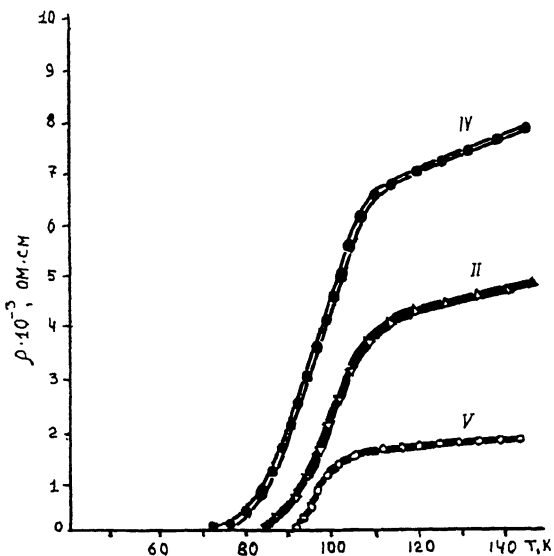


Рис. 2. Температурная зависимость сопротивления сверхпроводящих слоев (обозначения см. на рис. 1).

$(O_2)Pt/YBa_2Cu_3O_{7-\delta}/YSZ/Pt(O_2)$

в температурном диапазоне 450–600 °C.

Отношение диаметра к толщине ВТСП пластины $D/d \approx 50$ исключало радиальную диффузию кислорода. Коэффициент химической диффузии кислорода, рассчитанный в соответствии с [5]:

$$i - i_s = \frac{4FAC_0D}{i} \sum_{n=1}^{\infty} \exp\left(-\frac{Dn^2\pi^2t}{L^2}\right),$$

где F – постоянная Фарадея, A – площадь электрода, C_0 – изменения концентрации точечных дефектов, i_s – ток насыщения, t – время, L – среднее значение величины кристалла, D – коэффициент химической диффузии кислорода, i – протекающий ток, дал значение при $T=500$ °C, $D = 1.2 \cdot 10^{-9}$ см²/с. Энергия активации диффузии кислорода $E = 120$ кДж/моль соответствует литературным данным [6].

Константа скорости поглощения кислорода $k = \frac{\pi^2 D}{L^2}$ в этом случае равна $4.7 \cdot 10^{-4}$ с⁻¹ и соответствующее время полного насыщения образца кислородом $t = 10 \frac{\ln 2}{k} \approx 4$ ч.

Список литературы

- [1] Паньков В.В., Каланда Н.А., Бойко Б.Б.
Тез. докл. П Всес. конф. „Высокотемпературная сверхпроводимость”, Киев. 1989, С. 34.
- [2] Паньков В.В., Каланда Н.А. // Тез. докл. П Всес. совещ. „Физико-химия и технология высокотемпературных сверхпроводящих материалов”. М., 1988. С. 42.
- [3] Hermann A.M., Cheng Z., March D., Aramash F. // Appl. Phys. Comm. 1987. V. 7. N 4. P. 275-283.
- [4] De Leeuw D.M., Mutsaers C.A.H.A., Langereis C., Smoorenburg H.C.A., and Rommers P.J. // Physica C. 1988. V. 152. P. 39-49.
- [5] Ещенко Е.М. // Appl. Phys. Lett. 1988. 52. N 17. P. 1441-1443.
- [6] Оськина Т.Е., Третьяков Ю.Д., Солдатов Е.А. // Сверхпроводимость: физика, химия, техника. 1989. Т. 2. № 3. С. 24-29.

Институт физики
твердого тела и
полупроводников
АН БССР, Минск

Поступило в Редакцию
1 октября 1990 г.
В окончательной редакции
25 декабря 1990 г.

Письма в ЖТФ, том 17, вып. 7

12 апреля 1991 г.

05.4

© 1991

ПОВЕДЕНИЕ НАМАГНИЧЕННОСТИ ПОЛИКРИСТАЛЛИЧЕСКИХ
ОБРАЗЦОВ $YBa_2Cu_3O_{7-x}$ В СЛАБЫХ
МАГНИТНЫХ ПОЛЯХ

Н.Д. Кузьмичев

Хорошо известно [1-8, 11, 12], что ВТСП имеют сильную нелинейность намагниченности в слабых магнитных полях. В силу этого при помещении образца ВТСП в переменное магнитное поле в сигнале отклика появляется большое число высших гармоник. Развиваются в основном два механизма этого явления – джозефсонский [1-7, 9-12] и модель критического состояния [7, 12].

В настоящей работе получены выражения для э.д.с. гармоник сигнала отклика, пропорциональных гармоникам намагниченности и приводится выражение статической намагниченности поликристаллического образца.